

تحلیل سه بعدی لرزه‌بی نامتقارن لوله‌های مدفون با در نظر گرفتن لغزش لوله نسبت به خاک

یحیی نصیرا (دانشجوی دکتری)

حسین رجایی* (استادیار)

دانشکده‌ی مهندسی عمران و محیط زیست، دانشگاه صنعتی امیرکبیر

در این نوشتار، رفتار لرزه‌بی لوله‌های مدفون در برابر ارتعاشات ناشی از امواج صفحه‌یی مورد بررسی قرار گرفته است. مدل به کار گرفته شده در این تحقیق با فرض نداشتن اتصال کامل و صلب بین لوله و خاک، با منظور کردن میرایی لوزی برای لغزش ایجاد شده است. لوله‌ی کشسان به طول بی‌نهایت در محیط هموزن و کشسان خاک در نظر گرفته شده است. برای تحلیل سیستم ترکیبی خاک و لوله‌ی مدفون، از روش کشسانی سه بعدی استفاده شده و معادلات به صورت تحلیلی حل و با روش اجزاء محدود ارزیابی شده‌اند. در ادامه، مقادیر دامنه‌ی بیشینه و بحرانی موج ورودی برای شروع لغزش و تسلیم خاک ارائه و تأثیر لغزش و نوع خاک بر تنش‌های ایجاد شده ارزیابی شده‌اند.

yahya_nassira@yahoo.com
rajaieh@aut.ac.ir

واژگان کلیدی: لوله‌ی مدفون، لغزش، حل تحلیلی، کشسانی سه بعدی.

۱. مقدمه

پارامترهای مؤثر بر رفتار لوله‌های مدفون می‌شود.^[۱۰] در تمامی مقالات ارائه شده با استفاده از روش تحلیلی، مدل‌سازی خاک با استفاده از کشسانی سه بعدی انجام شده است؛ لیکن برای مدل‌سازی لوله و نحوه ارتباط خاک با آن، روش‌ها و فرضیات متفاوتی به کار رفته است.

در برخی پژوهش‌ها برای ارزیابی اندرکنش سازه و خاک با درنظر گرفتن لغزش طولی لوله در طی زلزله، از مدل تیر برای لوله و کشسانی سه بعدی برای مدل‌سازی خاک اطراف استفاده شده است.^[۱۱] لیکن این مدل توانایی چندانی در نمایش رفتار واقعی لوله نداشته است.^[۱۲] در تحقیقات بعدی با استفاده از مدل پوسته به جای مدل تیر و به کارگیری کشسانی سه بعدی برای خاک اطراف، مدل‌های کامل‌تری ارائه شد. در عمدۀ این تحقیقات تحلیل در حالت ۲ بعدی، متقارن و با صرف نظر کردن از لغزش بین لوله و خاک انجام شد.^[۱۳-۱۴] براساس مرور مطالعات صورت گرفته، در کاملاً ترین پژوهش انجام شده در این زمینه،^[۱۵] با استفاده از مدل پوسته برای لوله، کشسانی سه بعدی برای خاک اطراف، فرض عدم تقارن وجود لغزش بین لوله و خاک، به تحلیل سیستم لوله و خاک پرداخته شده است؛ و مدل‌سازی لغزش در این پژوهش با فرض ساده‌کننده ضریب میرایی ثابت برای لغزش انجام و اهمیت و تأثیر لغزش بر پاسخ دینامیکی لوله ارائه شده است. از طرفی با توجه به استفاده از تئوری پوسته برای مدل‌سازی لوله‌ی مدفون، محدودیت‌هایی برای نتایج این روش ایجاد شده است، زیرا که عموماً به دلیل نزدیکی تحلیل لوله‌های مدفون و تونل‌ها، ارائه‌ی روشی که بتواند لوله‌های ضخیم (شامل لوله‌ی مدفون، تونل، ...) را مدل کند؛ می‌تواند کمک قابل ملاحظه‌یی به گسترش روش‌های تحلیل و طراحی کند. در این پژوهش با استفاده از روش کشسانی سه بعدی برای خاک و لوله، رفتار لوله در برابر

تأسیسات شریان‌های حیاتی به علت گستردگی در مقایسه با اینهی متعارف و خدمت‌رسانی به طیف وسیعی از جامعه اهمیت ویژه‌ی دارند. خرابی آنها در هنگام وقوع زلزله، عواقب مستقیم و غیرمستقیم وسیع‌تری را نسبت به سازه‌های متعارف حساسیت و اهمیت در پی دارد؛ لذا ارزیابی عملکرد آنها نسبت به سازه‌های رو زمینی نسبت به سازه‌های زیرزمینی در برابر زلزله آسیب‌پذیرترند.

لیکن در زلزله‌های اخیر کوبه (۱۹۹۵)،^[۱۶] چی چی (۱۹۹۹)،^[۱۷] و ترکیه (۱۹۹۹)^[۱۸] خرابی‌های گستردگی در لوله‌های مدفون و تونل‌ها ایجاد شد و نشان داد که در این زمینه، نیاز به تحقیقات گستردگی ترجهت اصلاح روش‌های تحلیل و طراحی است. لوله‌های مدفون عموماً با روش‌های محافظه‌کارانه در مقابل بارهای لرزه‌بی تحلیل و طراحی می‌شوند.^[۱۹] به دلیل هندسه و پیچیدگی مصالح، اندرکنش سازه و خاک وجود امواج لرزه‌بی در جهات مختلف، در تعدادی از تحقیقات ارائه شده از روش‌های عددی مانند اجزاء محدود، المان‌های مرزی و یا تکیی از این دو روش استفاده شده است.^[۲۰] پیچیدگی مدل‌سازی اندرکنش لوله و خاک با درنظر گرفتن اثر لغزش و آنالیز حساسیت پارامترهای مؤثر بر رفتار لوله از نقاط ضعف روش‌های عددی است.^[۲۱] یکی از روش‌های موفق مورد استفاده برای تحلیل لوله از زمینی سازه‌های استوانه‌بی مدفون مانند لوله‌ها و تونل‌ها، روش تحلیلی است.^[۲۲] در این روش رفتار لوله و خاک به صورت کشسان در نظر گرفته شده است و به دلیل مشاهده‌ی مستقیم تأثیر خواص مصالح و مشخصات لوله و محیط اطراف، منجر به سادگی آنالیز حساسیت

* نویسنده مسئول

تاریخ: دریافت ۲۱، ۱۳۸۹/۶، اصلاحیه ۳، ۱۳۸۹/۱۲، پذیرش ۱۸، ۱۳۹۰/۳.

روشن حل معادله‌ی ناویه، استفاده از روش تجزیه‌ی هامولتز است (رابطه‌ی ۲).

$$\mathbf{u} = \nabla\varphi + \nabla \times \mathbf{H} \quad (2)$$

که شرط این روش تجزیه برقراری رابطه‌ی ۳ است:

$$\nabla \cdot \mathbf{H} = F(r, \theta, z, t) \quad (3)$$

که در این رابطه φ و \mathbf{H} توابع پتانسیل اسکالار و برداری و F یک تابع وابسته است که می‌توان مقدار آن را صفر در نظر گرفت. با اعمال رابطه‌ی تجزیه‌ی هامولتز در معادله‌های ناویه، معادلات اسکالار و برداری موج به صورت رابطه‌های ۴ و ۵ به دست می‌آیند:

$$(C_1^p)^* \nabla^* \varphi = \frac{\partial^* \varphi}{\partial t^*} \quad (4)$$

$$(C_2^p)^* \nabla^* \mathbf{H} = \frac{\partial^* \mathbf{H}}{\partial t^*} \quad (5)$$

که در آن‌ها $C_1^p = \sqrt{(\lambda_p + 2\mu_p)/\rho_p}$ و $C_2^p = \sqrt{(\mu_p/\rho_p)}$ به ترتیب نمایشگر سرعت انتشار امواج انبساطی (موج P) و چرخشی (موج S) در جامدات هستند. در این تحقیق موج ورودی به صورت موج صفحه‌یی با دامنه‌ی ارتعاشی U_i که در صفحه‌ی $Z - X$ منتشر می‌شود، در نظر گرفته شده است (رابطه‌ی ۶).

$$u_i = U_i e^{i(\omega t - k_l^S r \sin \phi_S \cos \theta - z k_l^S \cos \phi_s)} \quad (6)$$

در این رابطه ω سرعت زاویه‌یی و $i = \sqrt{-1}$ و $k_l^S = \omega/C_l^S$ عدد موج ورودی است. همچنین $C_l^S = \sqrt{(\lambda_S + 2\mu_S)/\rho_S}$ سرعت انتشار موج طولی در خاک برحسب ثابت‌های لامه‌ی خاک و همچنین چگالی آن است.

۲.۳. معادله‌های تغییرمکان و تنش

با اعمال روش جداسازی متغیرها به معادله‌ی موج ۴ و با منظور کردن معادله‌ی ۶، جواب‌های عمومی معادله به صورت رابطه‌ی ۷ محاسبه می‌شوند.

$$u_r^p = \begin{pmatrix} A_1^p \frac{n}{r} J_n(q_l^p r) - q_l^p J_{n+1}(q_l^p r) + \\ A_1^p (k_l^p \cos \phi_p) J_{n+1}(q_s^p r) + \\ A_1^p \frac{n}{r} J_n(q_s^p r) + \\ B_1^p \frac{n}{r} Y_n(q_l^p r) - q_l^p Y_{n+1}(q_l^p r) + \\ B_1^p (k_l^p \cos \phi_p) Y_{n+1}(q_s^p r) + \\ B_1^p \frac{n}{r} Y_n(q_s^p r) \end{pmatrix} \begin{cases} \cos n\theta \\ \sin n\theta \end{cases} e^{i(\omega t - z k_l^p \cos \phi_p)} \quad (7)$$

$$u_\theta^p = \begin{pmatrix} -\frac{n}{r} J_n(q_l^p r) A_1^p + \\ (q_s^p A_1^p + A_1^p k_l^p \cos \phi_p) J_{n+1}(q_s^p r) - \\ A_1^p \frac{n}{r} J_n(q_s^p r) - \frac{n}{r} Y_n(q_l^p r) B_1^p + \\ (q_s^p B_1^p + B_1^p k_l^p \cos \phi_p) Y_{n+1}(q_s^p r) - \\ B_1^p \frac{n}{r} Y_n(q_s^p r) \end{pmatrix} \begin{cases} 1 \\ -1 \end{cases} \begin{cases} \sin n\theta \\ \cos n\theta \end{cases} e^{i(\omega t - z k_l^p \cos \phi_p)} \quad (8)$$

امواج ورودی ارزیابی شده است. معادلات ناویه به منزله‌ی معادلات حاکم بر محیط در نظر گرفته شده است و با استفاده از تجزیه‌ی هامولتز به ۲ معادله‌ی موج تکیک شده‌اند. در ادامه، با تبدیل معادلات ناویه به معادلات پتانسیل حاکم بر محیط خاک و لوله، معادلات حاصل با استفاده از روش جداسازی حل شده‌اند. در این نوشتار لوله‌ی کشسان با طول بی‌نهایت در داخل محیط کشسان خاک فرض شده و لغزش بین لوله و خاک با استفاده از مدل میرایی لزجی در نظر گرفته شده است. ثابت میرایی لغزش،تابع دامنه‌ی موج ورودی منظور شده و درنتیجه منجر به کامل ترشدن این روش نسبت به سایر روش‌ها [۱۰, ۱۱, ۱۲] شده است.

در این پژوهش، استفاده از کشسانی سه بعدی برای مدل‌سازی لوله‌ی مدفن منجر به توسعه‌ی روشی برای تحلیل لوله‌های ضخیم (تونل‌ها) شده است. تحلیل در حالت نامتناهن انجام شده و نتایج بر روی هر قسمت از لوله و یا محیط اطراف قابل ارائه است. در ادامه در بخش دوم و سوم مبانی مدل‌سازی، تحلیل، معادله‌های غیرlinear و شرایط مرزی آورده شده است. در بخش چهارم مدل با روش اجزاء محدود ارزیابی و سپس در بخش پنجم یک مثال متدال از لوله‌های جدار نازک (ابعاد متدال شرکت نفت ایران) و یک لوله‌ی ضخیم با ابعاد متدال تونل تحلیل شده است. نهایتاً در بخش ششم تتجهیگیری و ماحصل این نوشتار مورد بحث قرار گرفته است.

۲. مدل‌سازی

برای مدل‌سازی مسئله، سیستم کوبی لوله و خاک در نظر گرفته شده است (شکل ۱). در این سیستم لوله به طول بی‌نهایت در محیط خاک در معرض موج ورودی صفحه‌یی قرار گرفته، و شرط لغزش بین لوله و خاک اطراف با درنظر گرفتن مدل اصطکاک لغزشی کولمب و با استفاده از مدل میرایی لزجی مدل شده است.

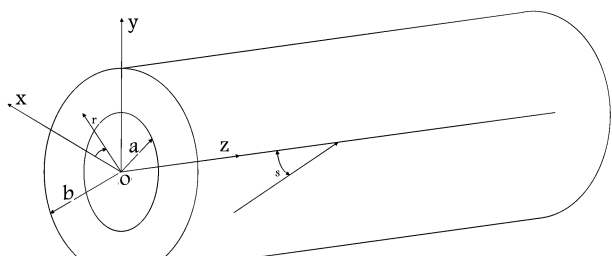
۳. روش تحلیلی

۳.۱. مبانی و مفاهیم اولیه

معادلات دینامیکی حرکت در غیاب نیروهای اینرسی برای اجسام کشسان خطی بر حسب مؤلفه‌های تغییرمکان یا به عبارت دیگر معادلات ناویه در شکل برداری به صورت رابطه‌ی ۱ است:

$$\rho_p \frac{\partial^* \mathbf{u}}{\partial t^*} = \mu_p \nabla^* \mathbf{u} + (\lambda_p + \mu_p) \nabla (\nabla \cdot \mathbf{u}) \quad (1)$$

در این رابطه، ρ_p چگالی لوله، λ_p و μ_p ثابت‌های لامه و ∇ اپراتور لاپلاسین است. زیرنویس p در این رابطه، نشان‌دهنده‌ی پارامترهای مربوط به لوله است. عمومی‌ترین



شکل ۱. هندسه‌ی لوله‌ی مدفن.

برشی ناشی از موج ورودی $\sigma_{r\theta}^p$ باشد، رخ می‌دهد. لغزش یا حرکت نسبی تا زمانی که مقدار تنش‌های ناشی از ارتعاش از τ_s (مقوامت برش خاک) بیشتر باشد، ادامه پیدا می‌کند؛ لیکن با کمتر شدن مقدار آنها از τ_s لغزش متوقف می‌شود. این روند لغزش و عدم لغزش در طول یک ارتعاش بارها اتفاق می‌افتد. به عبارت دیگر، جواب‌های حاصل از حل معادلات حاکم مستقل از برگذاری نیستند.

بیناً حالت لغزش و عدم لغزش در مدت زمان طولانی اتفاق می‌افتد و به راحتی قابل پیش‌بینی نیست. اگر تنش اصطکاکی خیلی کمتر از تنش برشی ناشی از برگذاری (موج ورودی) باشد، می‌توان با استفاده از مدل میرابی لزجی، میرابی کلمب را مدل‌سازی کرد.^[۱۰]

برای اغلب مسائل دینامیکی، تنش اصطکاکی وابسته به نرخ زمانی لغزش است و می‌توان آن را با سیستم میرابی لزجی مدل‌سازی کرد. این موضوع را می‌توان به صورت رابطه‌ی ۱۶ نشان داد:

$$\begin{aligned}\sigma_{r\theta}^p &= \frac{4\tau_s}{\pi\omega U_\theta} (\dot{u}_\theta^s + \dot{u}_\theta^i - \dot{u}_\theta^p) \quad \text{at } r = b \\ \sigma_{rz}^p &= \frac{4\tau_s}{\pi\omega U_z} (\dot{u}_z^s + \dot{u}_z^i - \dot{u}_z^p) \quad \text{at } r = b\end{aligned}\quad (16)$$

که در آن $\pi\omega U_\theta = 4\tau_s$ و $\pi\omega U_z = 4\tau_s$ ثابت میرابی معادل تنش اصطکاکی $\sigma_{r\theta}^p|_{r=b}$ و $\sigma_{rz}^p|_{r=b}$ هستند. U_θ و U_z دامنه‌ی تغییرمکان‌های $u_z^s + u_z^i - u_z^p$ و $u_\theta^s + u_\theta^i - u_\theta^p$ هستند. بنابراین تغییرمکان ناشی از لغزش را می‌توان به صورت رابطه‌ی ۱۷ نوشت:

$$\begin{aligned}u_\theta^s + u_\theta^i - u_\theta^p &= U_\theta e^{i(\omega t - zk_l^p \cos \phi_p + \phi_\theta)} = \\ \sum_{n=1}^{\infty} U_\theta \Big(&e^{i(\omega t - zk_l^p \cos \phi_p + \phi_n)_n} \sin n\theta \\ u_z^s + u_z^i - u_z^p &= U_z e^{i(\omega t - zk_l^p \cos \phi_p + \phi_z)} = \\ \sum_{n=1}^{\infty} U_z \Big(&e^{i(\omega t - zk_l^p \cos \phi_p + \phi_z)_n} \cos n\theta\end{aligned}\quad (17)$$

که در آن ϕ_θ و ϕ_z اختلاف فاز تغییرمکان ناشی از لغزش است و همین‌طور $(\phi_\theta)_n$ برای هر عدد موج n هستند. لذا $U_\theta(n)$ نیز دامنه‌ی تغییرمکان لغزش برای هر n هستند. لذا با استفاده از معادله‌ی ۱۷ و فرازدادن آن در معادله‌ی ۱۶ می‌توان رابطه‌ی ۱۸ را نوشت:

$$\begin{aligned}\sigma_{r\theta}^p &= \sum_{n=1}^{\infty} \sigma_{r\theta}^p(n) e^{i(\omega t - zk_l^p \cos \phi_p)} \sin n\theta = \\ \frac{4i\tau_s}{\pi U_\theta} \sum_{n=1}^{\infty} U_\theta \Big(&e^{i(\omega t - zk_l^p \cos \phi_p + \phi_\theta)_n} \sin n\theta \quad \text{at } r = b \\ \sigma_{rz}^p &= \sum_{n=1}^{\infty} \sigma_{rz}^p(n) e^{i(\omega t - zk_l^p \cos \phi_p)} \cos n\theta = \\ \frac{4i\tau_s}{\pi U_z} \sum_{n=1}^{\infty} U_z \Big(&e^{i(\omega t - zk_l^p \cos \phi_p + \phi_z)_n} \cos n\theta \quad \text{at } r = b\end{aligned}\quad (18)$$

با استفاده از خاصیت تمام توابع \sin و \cos ، این روابط را می‌توان به صورت رابطه‌ی ۱۹ اصلاح کرد:

$$\begin{aligned}\sigma_{r\theta}^p(n) &= \frac{4i\tau_s}{\pi U_\theta} U_\theta(n) e^{i\phi_\theta}, \quad n = 1, 2, \dots \quad \text{at } r = b \\ \sigma_{rz}^p(n) &= \frac{4i\tau_s}{\pi U_z} U_z(n) e^{i\phi_z}, \quad n = 1, 2, \dots \quad \text{at } r = b\end{aligned}\quad (19)$$

$$u_z^p = -i \left(\begin{array}{l} (k_l^p \cos \phi_p)(A_s^p J_n(q_l^p r) + B_s^p Y_n(q_l^p r)) + \\ q_s^p (A_s^p J_n(q_s^p r) + B_s^p Y_n(q_s^p r)) \end{array} \right) \\ \left\{ \begin{array}{l} \cos n\theta \\ \sin n\theta \end{array} \right\} e^{i(\omega t - zk_l^p \cos \phi_p)} \quad (9)$$

در این رابطه‌ها $q_l^p = k_l^p \sin \phi_p$ و $q_s^p = \sqrt{(k_s^p)^2 - (k_l^p)^2 \cos^2 \phi_p}$ است، $k_l^p = \frac{\omega}{C^p}$ اعداد موج طولی (P) و برشی (S) هستند. J_n و Y_n توابع بسل نویمان K_n ، I_n توابع بسل نویمان برای آرگومان موهومی‌اند. G_k^p برای $k = 1, 2, 3, 4$ تابع اند. با استفاده از رابطه‌های تنش و کرنش می‌توان مقادیر تنش و کرنش متناظر این تغییرمکان‌ها را به دست آورد (پیوست الف). با تبدیل موج ورودی به فرم سری با استفاده از توابع بسل می‌توان رابطه‌ی ۱۰ را نوشت:

$$u_i = U_i e^{i(\omega t - zk_l^S \cos \phi_S)} \sum_{n=1}^{\infty} \varepsilon_n (-i)^n J_n(r k_l^S \sin \phi_s) \cos n\theta \quad (10)$$

و با تجزیه‌ی آن در دستگاه مختصات استوانه‌بی رابطه‌های ۱۱ الی ۱۳ نتیجه می‌شوند:

$$u_z^i = U_i \cos \phi_s e^{i(\omega t - zk_l^S \cos \phi_s)} \sum_{n=1}^{\infty} \varepsilon_n (-i)^n \cos n\theta J_n(r q_l^s) \quad (11)$$

$$u_r^i = U_i \sin \phi_s e^{i(\omega t - zk_l^S \cos \phi_s)} \left\{ \sum_{n=1}^{\infty} \varepsilon_n (-i)^{n-1} [J_{n-1}(r q_l^s) - \right. \\ \left. J_{n+1}(r q_l^s)] \cos(n\theta) + \frac{\varepsilon_1}{2} (-i)^1 J_1(r q_l^s) \right\} \quad (12)$$

$$u_\theta^i = -U_i \sin \phi_s e^{i(\omega t - zk_l^S \cos \phi_s)} \sum_{n=1}^{\infty} \varepsilon_n (-i)^{n-1} \frac{n}{r q_l^s} J_n(r q_l^s) \sin(n\theta) \quad (13)$$

در این روابط ε_n ضریب نویمان است. در هنگام انتشار موج به سمت خط لوله (شکل ۱) قسمتی از موج ورودی به سطح لوله‌ی مدفعون منعکس و مابقی در داخل لوله منتشر می‌شود. بنابراین امواج رفت و برگشتی هردو در خاک مؤثرند، لذا باید تأثیر برآیند هر دو را در نظر گرفت. مقادیر تنش‌های ناشی از موج ورودی در پیوست ب داده شده است.

۳.۳. شرایط مرزی

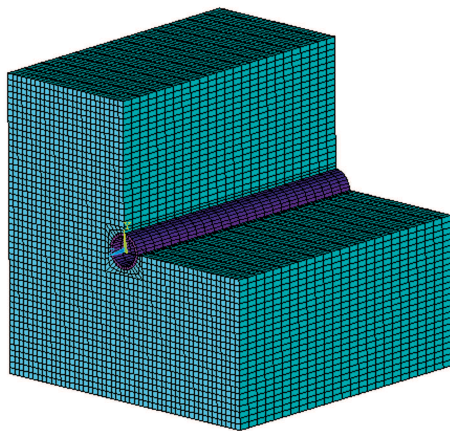
شرایط مرزی داخل لوله را می‌توان به صورت رابطه‌ی ۱۴ نوشت:

$$\sigma_{rr}^p = \sigma_{r\theta}^p = \sigma_{rz}^p = 0 \quad \text{at } r = a \quad (14)$$

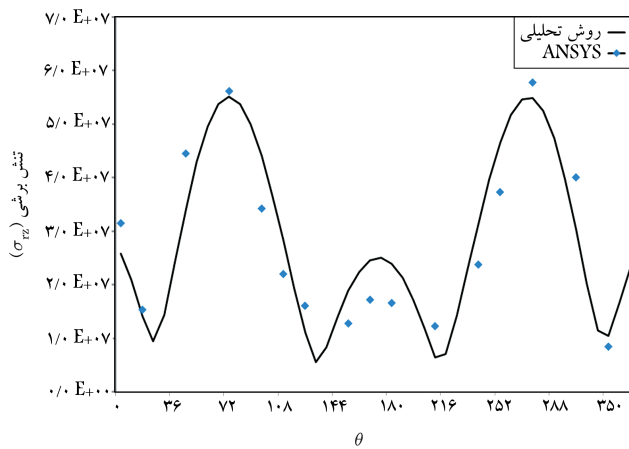
شرایط پیوستگی تنش در سطح لوله به صورت رابطه‌ی ۱۵ است:

$$\begin{aligned}\sigma_{rr}^p &= \sigma_{rr}^s + \sigma_{rr}^i \quad \text{at } r = b \\ \sigma_{r\theta}^p &= \sigma_{r\theta}^s + \sigma_{r\theta}^i \quad \text{at } r = b \\ \sigma_{rz}^p &= \sigma_{rz}^s + \sigma_{rz}^i \quad \text{at } r = b\end{aligned}\quad (15)$$

در این تحقیق دو لغزش یکی در جهت طولی و دیگری در جهت محیطی در نظر گرفته و فرض شده است که لغزش در زمانی که مقاومت برشی خاک کمتر از تنش



شکل ۲. المان‌بندی لوله‌ی مدفون و خاک اطراف.



شکل ۳. مقایسه‌ی σ_{rz} برای روش تحلیلی و اجزاء محدود.

ورودی با محور لوله 30° درجه فرض شده است. مدل به ابعاد $100 \times 100 \times 100$ متر طول، 30° متر عرض و 100 متر عمق در نظر گرفته شده که براساس پیشنهاد پژوهش‌های پیشین [۱۶] است. شرط مرزی در عمق 100 متری با فرض عدم تغییرمکان در جهت‌های x, y, z منظور شده است، لذا مقادیر تغییرمکان در گره‌های کف صفر است.

در ادامه، شرط میراکننده برای مرزهای دور در مدل اجزاء محدود توسط نرم‌افزار ANSYS لحاظ شده است. تنش‌های برشی σ_{rz} در مقطع لوله برای هر دو نوع تحلیل در شکل ۳ آورده شده است. نتایج نشان‌دهنده‌ی تطابق مناسب بین روش تحلیلی و اجزاء محدود است.

۵. نتایج عددی

تحلیل لوله‌های مدفون با استفاده از کشسانی سه بعدی این امکان را ایجاد می‌کند که پاسخ آن را در برابر امواج وارده برای هر نوع لوله با هر نوع ضخامتی به دست آورد. در تحقیقات گذشته به دلیل استفاده از تئوری پوسته‌ها، امکان بررسی بر روی لوله‌های با ضخامت پیشرفت (تونل‌ها) وجود نداشت؛ لیکن با این روش می‌توان لوله‌های ضخیم و تونل‌ها را نیز تحلیل کرد. در این قسمت مطالعات عددی و حل مثال‌هایی برای روابط محاسبه‌شده در قسمت قبل ارائه شده است. مشخصات لوله و خاک در نظر گرفته شده در این تحقیق به شرح جدول ۱ است.

با استفاده از رابطه‌های 11 ، 17 و 17 اختلاف فازهای n و ϕ_n و دامنه‌های n و U_n برای هر عدد موج محاسبه و درنهایت U_θ و U_z محاسبه می‌شود. این موضوع در تحقیقات قبلی [۱۵] با فرض ساده‌کننده‌ی ثابت‌گرفتن ضریب میرایی حل شده بود، لیکن برای تکمیل محاسبات به صورت تابعی از دامنه‌ی موج ورودی در نظر گرفته شده است. [۱۰] درنهایت آخرین شرط مرزی را می‌توان به صورت رابطه‌ی 20 نوشت:

$$u_r^p = u_r^s + u_r^i \quad \text{at } r = b \quad (20)$$

این شرط بیانگر فرض عدم جدایش در جهت شعاعی بین لوله و خاک است. در این معادلات به دلیل بیشتر بودن تعداد جملات نسبت به معادلات امکان حل وجود ندارد، لیکن در صورت توجه به نوع بارگذاری می‌توان به حل معادلات دست یافته. امواج منتشر شده به سمت لوله برای منبع ارتعاشی دور را می‌توان به صورت امواج صفحه‌یی در نظر گرفت. از طرفی با توجه به مطلب فوق امواج منعکس شده از لوله نیز به صورت امواج صفحه هستند، لذا باید جواب معادلات به شکل توابع هنکل نوع دوم باشد؛ در نتیجه روابط 21 باید برقرار شود.

$$B_1^s = -iA_1^s, \quad B_2^s = -iA_2^s, \quad B_3^s = -iA_3^s \quad (21)$$

در این رابطه‌ها مقادیر $A_1, A_2, A_3, B_1, B_2, B_3$ ثابت‌های معادلات دیفرانسیل تغییرمکان و تنش هستند که در پیوست الف داده شده‌اند. با استفاده از معادلات تنش به دست آمده از رابطه‌های 7 تا 9 و 11 تا 14 و نیز معادله‌های 15 و 19 تا 21 می‌توان معادلات را به شکل ماتریسی رابطه‌ی 22 نوشت:

$$\mathbf{M}_{9 \times 9} \mathbf{U} = \mathbf{B} \quad (22)$$

در این رابطه $\mathbf{M}_{9 \times 9}$ ماتریس ضرایب (پیوست ج) و \mathbf{U} بردار مجهولات (رابطه‌ی 23) هستند.

$$U^T = \begin{Bmatrix} A_{1n}^p & A_{2n}^p & A_{3n}^p \\ B_{1n}^p & B_{2n}^p & B_{3n}^p \\ A_{1n}^s & A_{2n}^s & A_{3n}^s \end{Bmatrix} \quad (23)$$

و بردار \mathbf{B} به صورت رابطه‌ی 24 است:

$$B^T = \begin{Bmatrix} b_1 & b_2 & b_3 & b_4 & b_5 & b_6 & b_7 & b_8 & b_9 \end{Bmatrix} \quad (24)$$

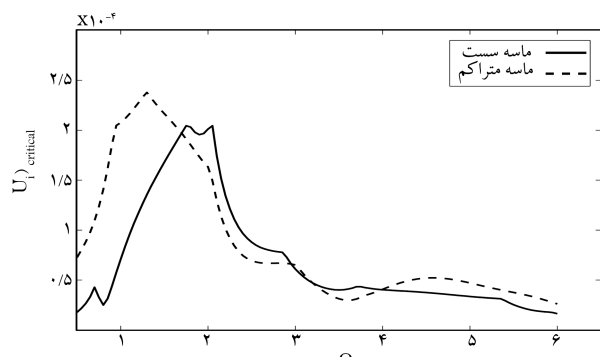
مؤلفه‌های بردار \mathbf{B} برای مود زوچ در پیوست ج داده شده است. با حل این ماتریس (رابطه‌ی 23) و استفاده از معادلات تنش و کرنش مقادیر آنها در هر نقطه‌ی دلخواه محاسبه می‌شود.

۴. مقایسه‌ی مدل تحلیلی با مدل اجزاء محدود

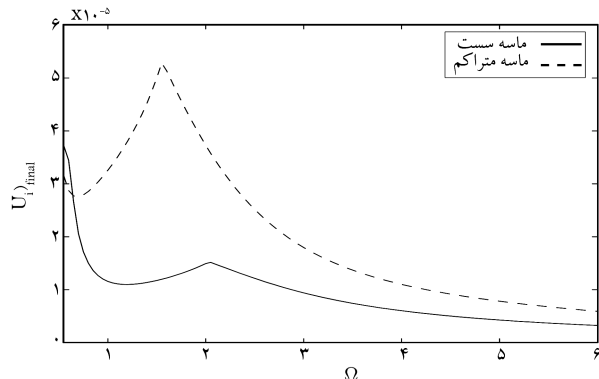
به جهت ارزیابی صحیح روابط فوق، نتایج مدل تحلیلی با نتایج حاصل از روش اجزاء محدود مقایسه شده است. در شکل ۲ مدل لوله‌ی مدفون با استفاده از نرم‌افزار ANSYS در حالت سه بعدی و با فرض رفتار خطی و اتصال کامل بین لوله و خاک ارائه شده است. لوله‌ی بتی به طول 30 متر با شعاع 5 متر و به ضخامت 1 متر در نظر گرفته شده و برای المان‌بندی از المان SOLID45 برای لوله و خاک استفاده شده است. دامنه‌ی موج هارمونیک ورودی برابر واحد و بسامد زاویه‌یی آن 390 رادیان بر ثانیه در نظر گرفته شده است. همچنین زاویه‌ی راستای انتشار موج

اصلی خاک در محل اتصال لوله و خاک با تنش تسلیم برابر شود. مقادیر U_i _{final} کمینه‌ی دامنه‌ی موج ورودی است که منجر به تسلیم بین لوله و خاک می‌شود. در شکل ۶ مقادیر U_i _{final} در مقابل مقادیر بدون بعد بسامد طبیعی موج ورودی ترسیم شده است. برای هر دو نوع خاک متراکم و شل و برای $U_i < U$ U_i _{final} حل کشسان لوله و خاک صحیح است. مقاومت برشی برای خاک شل و متراکم به ترتیب ۱۸۶۹۱ پاسکال و ۲۹۸۹۱ پاسکال در نظر گرفته شده است.

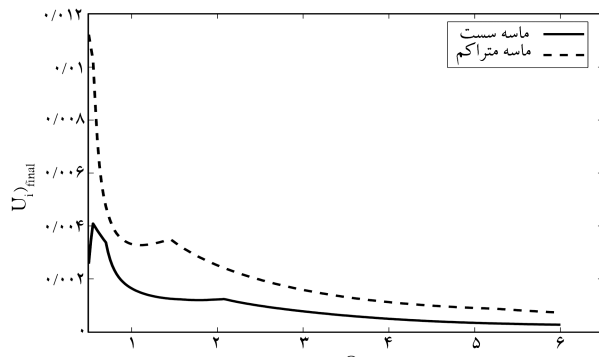
شکل‌های ۵ و ۷ نشان می‌دهند که عموماً تسلیم در سطح لوله و خاک، برای ماسه‌ی متراکم در دامنه‌ی موج ورودی کمتری ایجاد می‌شود.



شکل ۵. مقادیر بحرانی دامنه‌ی موج بحرانی برای لوله به قطر داخلی ۵/۳۵ متر و قطر خارجی ۶ متر.



شکل ۶. مقادیر کمینه‌ی دامنه‌ی موج ورودی برای ایجاد رفتار غیرخطی برای لوله به قطر داخلی ۱۰۲۲ متر و قطر خارجی ۱۱۲۲ متر.



شکل ۷. مقادیر بحرانی دامنه‌ی موج ورودی برای ایجاد رفتار غیرخطی برای لوله به قطر داخلی ۵/۳۵ متر و قطر خارجی ۶ متر.

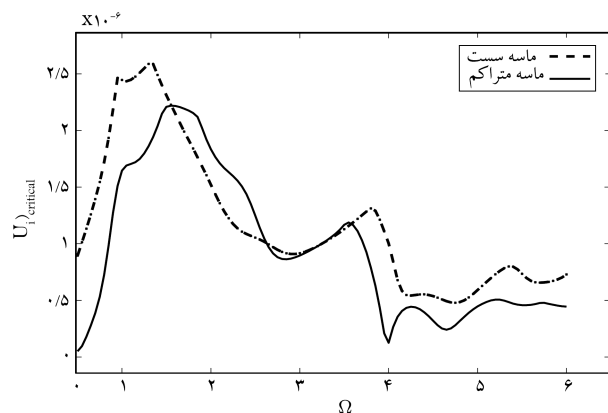
۱.۵. تأثیر دامنه‌ی موج ورودی
برای ارزیابی نتایج از لوله‌های استاندارد با قطر اسامی ۱۰/۱۶ میلی‌متر با ضخامت ۵ میلی‌متر استفاده شده است (شکل ۱). در شکل ۴، مقادیر دامنه‌ی بحرانی موج ورودی که منجر به شروع لغزش بین لوله و خاک می‌شود، نشان داده شده است. این مقادیر به صورت نمودار دامنه‌ی موج ورودی در برابر بسامدهای طبیعی ترسیم شده است. مشخصات مصالح از جدول ۱ استخراج شده و زاویه‌ی موج ورودی ϕ برابر با 30° و 15° در نظر گرفته شده است.

همان‌طور که در شکل ۴ ملاحظه می‌شود، کمینه‌ی دامنه‌ی موج ورودی برای شروع لغزش بین لوله و خاک تا بسامد طبیعی ۱/۸ برای ماسه‌ی متراکم کمتر از ماسه‌ی سست است، لیکن با افزایش بسامد طبیعی موج ورودی کمینه‌ی دامنه‌ی موج ورودی برای شروع لغزش در خاک متراکم بیشتر از خاک سست است. در مجدد با افزایش بسامد طبیعی موج ورودی پس از بسامد ۳/۶ روند اولیه برقرار می‌شود. لذا می‌توان نتیجه گرفت که به طورکلی کمینه‌ی دامنه‌ی موج ورودی برای آغاز لغزش لوله‌های جدار نازک در ماسه‌ی متراکم کمتر از ماسه‌ی سست است. در شکل ۵ نمودار مشابهی برای لوله‌ی ضخیم (تونل) با قطر داخلی ۵/۳۵ متر و قطر خارجی ۶ متر آورده شده است. استفاده از لوله‌ی ضخیم برای نشان دادن قابلیت روش کشسانی سه بعدی برای تحلیل لوله‌ای که نمی‌توان از روش پوسته برای تحلیل آنها استفاده کرد، صورت گرفته است. کمینه‌ی دامنه‌ی موج ورودی جهت آغاز لغزش برای لوله‌ی ضخیم رفتار مشابهی با لوله‌های جدار نازک دارد. در نظر گرفتن شرط لغزش و یا عدم لغزش تأثیر قابل ملاحظه‌ی در آنالیز تنش لوله دارد، لذا با استفاده از این گراف‌ها می‌توان وقوع لغزش بین لوله و خاک را پیش‌بینی و نوع تحلیل و طراحی را برای لوله‌های موردنظر تعیین کرد.

براساس تئوری مور، تسلیم در خاک زمانی ایجاد می‌شود که بیشینه‌ی تنش

جدول ۱. مشخصات مصالح مورد استفاده.

$E[N/m^3]$	ν	$\rho [kg/m^3]$	مقادیر مصالح
2×10^{11}	0,3	7800	لوله‌ی فلزی
$2,34 \times 10^{10}$	0,15	2500	لوله‌ی بتی (تونل)
$1,9 \times 10^7$	0,25	1650	ماسه‌ی سست
$5,2 \times 10^7$	0,4	1950	ماسه‌ی متراکم



شکل ۴. مقادیر بحرانی دامنه‌ی موج ورودی برای لوله به قطر داخلی ۱۰۲۲ متر و قطر خارجی ۱۱۲۲ متر.

منظور کردن مقدار ضریب میرایی در رابطه‌ی لغزش (معادله‌ی ۱۹) مقادیر تنش‌ها به طور قابل ملاحظه‌ی افزایش یافته و نتایج مشابهی به دست می‌آید. در جدول ۶، مقایسه‌ی تنش‌های طولی برای لوله‌ی ضخیم (تونل) انجام شده است. مطابق این جدول، مقادیر تنش‌ها در صورت لحاظ کردن لغزش در لوله‌های ضخیم نیز به مقدار قابل توجهی کاهش می‌یابد.

نوع خاک تأثیر قابل ملاحظه‌ی بر تنش‌های ایجاد شده در لوله و خاک دارد. جدول‌های ۴ الی ۶ نشان‌دهنده افزایش تنش در لوله‌ی مدفون و تونل با افزایش تراکم خاک هستند.

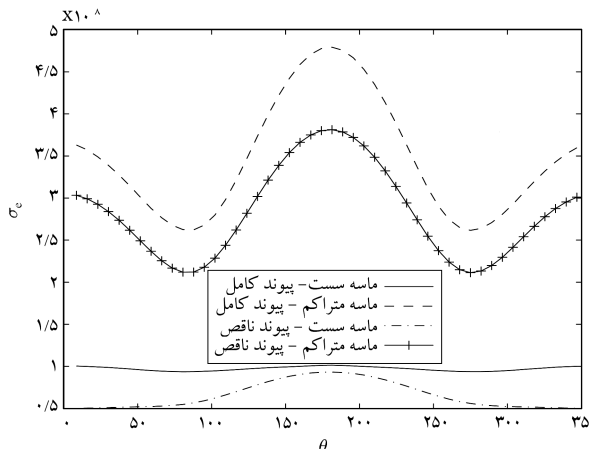
برای ارزیابی این تأثیر از تنش معادل $a = \sqrt{\sigma_z^2 + \sigma_\theta^2 + \sigma_r^2}$ به مبنای معياری جهت ارزیابی تأثیر خواص خاک و لغزش استفاده شده است. همان‌طور که در شکل ۸ نشان داده شده است، تنش‌های ایجاد شده در لوله برای ماسه‌ی متراکم در برابر موج ورودی مشابه به مرتبه بیشتر از تنش‌های ایجاد شده در ماسه‌ی سست است. علاوه بر این، تأثیر لغزش در تنش‌های ایجاد شده برای خاک سست کمتر از

جدول ۵. مقایسه‌ی تنش‌های محیطی (σ_{rz}^p) ($\sigma_{r\theta}^p$) برای لوله و خاک در مقابل $\theta = ۰, ۳۰, ۶۰, ۹۰$ درجه

با لغزش		بدون لغزش		θ
ماسه‌ی سست	ماسه‌ی متراکم	ماسه‌ی سست	ماسه‌ی متراکم	
۴,۱۳	۶,۹۵	۸,۴	۱۳,۳	۵۰
۵,۴۳	۶,۴۱	۶,۸	۱۱,۹	۱۵۰
۵,۳۲	۶,۴۷	۱۲,۸	۱۸,۶	۲۵۰
۴,۴۲	۶,۸۴	۴,۳	۷,۸	۳۵۰

جدول ۶. مقایسه‌ی تنش‌های طولی (σ_{rz}^p) ($\sigma_{r\theta}^p$) برای لوله و خاک در مقابل $\theta = ۰, ۳۰, ۶۰, ۹۰$ درجه

با لغزش		بدون لغزش		θ
ماسه‌ی سست	ماسه‌ی متراکم	ماسه‌ی سست	ماسه‌ی متراکم	
۱,۱۵	۱,۶۹	۲,۵۹	۵,۸۱	۵۰
۱,۱۳	۱,۷۳	۲,۳۲	۵,۱۸	۱۵۰
۱,۱۶	۱,۷۱	۴,۹۱	۶,۹۴	۲۵۰
۱,۱۴	۱,۶۸	۱,۴۸	۴,۳۳	۳۵۰



شکل ۸. تنش معادل در سطح لوله و خاک در برابر زاویه‌ی $\theta = ۰, ۳۰, ۶۰, ۹۰$ درجه

جدول ۲. مقادیر σ_{rz}^p , $\sigma_{r\theta}^p$ و $\sigma_{r\theta}^p$ در سطح داخل لوله برای $\theta = ۰, ۳۰, ۶۰, ۹۰$ درجه

$\frac{ \sigma_{rz}^p _{r=a}}{\max \sigma_{rz}^i }$	$\frac{ \sigma_{r\theta}^p _{r=a}}{\max \sigma_{r\theta}^i }$	$\frac{ \sigma_{r\theta}^p _{r=a}}{\max \sigma_{r\theta}^i }$	θ
$۲,۸e - ۷$	$۷e - ۸$	$۱,۳e - ۵$	۵۰
$۳,۴e - ۷$	$۶e - ۸$	$۱,۱e - ۵$	۱۵۰
$۴,۱e - ۷$	$۶,۱e - ۸$	$۸e - ۶$	۲۵۰

جدول ۳. اختلاف بدون بعد شده تغییر مکان‌های شعاعی $|u_r^p - u_r^s - u_i^s|_{r=a}$ برای لوله و خاک در مقابل $\theta = ۰, ۳۰, ۶۰, ۹۰$ درجه

$\phi_s \setminus \theta [deg]$	۳۰	۱۸۵	۵
$۳,۰۶e - ۱۱$	$۹,۳۲e - ۱۱$	$۸,۶۵e - ۱۱$	۳۰
$۲,۲۲e - ۱۰$	$۶,۶۰e - ۱۰$	$۶,۴۸e - ۱۰$	۵۰
$۵,۱۵e - ۱۰$	$۱,۴۹e - ۰۹$	$۱,۴۸e - ۰۹$	۷۰

۲.۵. ارزیابی صحبت نتایج

برای بررسی صحبت و درستی روابط به دست آمده و محاسبه‌ی ضرایب مجھول، معادلات مقادیر قدر مطلق بدون بعد تنش‌ها در سطح داخلی لوله برای $U_i > U_i^{critical}$ به ساده‌ی طبیعی $۱/۵$ در جدول ۲ آورده شده است. همان‌طور که در جدول ۲ مشاهده می‌شود، مقادیر σ_{rz}^p , $\sigma_{r\theta}^p$ و $\sigma_{r\theta}^p$ نسبت به مقادیر تنش‌های ناشی از موج ورودی بسیار ناچیز هستند. این روش مقایسه‌ی برای نشان‌دادن برقراری شرایط مرزی استفاده شده است.^[۱۸] مقادیر قدر مطلق اختلاف تغییر مکان‌های شعاعی لوله و خاک در مرزی لوله در جدول ۳ آورده شده است. این جدول تأییدکننده‌ی برقراری شرط مرزی در رابطه‌ی ۲۰ است.

۳.۵. تأثیر نوع خاک و لغزش

در نظر گرفتن لغزش بین لوله و خاک تأثیر قابل توجهی بر تنش‌های ایجاد شده در لوله‌ی مدفون دارد. در جدول‌های ۴ و ۵ مقادیر تنش‌های برشی طولی و محیطی نسبت به تنش ناشی از موج ورودی در برابر θ ارائه شده است. نتایج تحلیل نشان‌دهنده‌ی کاهش قابل ملاحظه‌ی تنش‌های σ_{rz}^p و $\sigma_{r\theta}^p$ در صورت لحاظ کردن لغزش بین لوله و خاک است. در جدول ۴، نتایج حاصل از روش دیویدی و همکاران^[۱۵] با نتایج به دست آمده از روش ارائه شده در این نوشتار مقایسه شده است. همان‌طور که در این جدول نشان داده شده است، تنش‌های حاصل از روش دیویدی و همکاران بیشتر از مقادیر به دست آمده در این نوشتار است. این تفاوت را می‌توان ناشی از فرضیات استفاده شده برای ثابت میرایی در نوشتار فوق الذکر دانست، زیرا که با ثابت

جدول ۴. مقایسه‌ی تنش‌های (σ_{rz}^p) ($\sigma_{r\theta}^p$) برای لوله و خاک در مقابل $\theta = ۰, ۳۰, ۶۰, ۹۰$ درجه

بدون لغزش		با لغزش		θ
ماسه‌ی سست	ماسه‌ی متراکم	ماسه‌ی سست	ماسه‌ی متراکم	
۱,۶۴	۲,۸۷	۱,۳۵	۱,۹۱	۵۰
۱,۴۴	۱,۹۳	۱,۳۳	۱,۹۰	۱۵۰
۱,۷۸	۲,۱۴	۱,۳۱	۱,۸۷	۲۵۰
۱,۳۸	۲,۶۳	۱,۳۲	۱,۹۲	۳۵۰

۲. امکان ایجاد لغزش بین لوله و خاک کاملاً به دامنه‌ی موج ورودی وابسته است و در صورت افزایش آن از مقدار خاصی براساس بسامد طبیعی موج، لغزش رخ می‌دهد.

۳. لحاظ لغزش بین لوله و خاک منجر به کاهش قابل ملاحظه‌ی تنش‌های ایجادشده در لوله‌ی مدفون می‌شود. از آنجاکه در طراحی لوله‌های مدفون و تونل‌ها، تحلیل لرزه‌یی تونل عموماً با استفاده از روش‌های محافظه‌کارانه انجام می‌شود؛ لذا استفاده از این روش تحلیل می‌تواند منجر به صرفه‌جویی اقتصادی مناسبی در طراحی این نوع از سازه‌های زیرزمینی شود.

۴. تراکم و نوع خاک تأثیر قابل ملاحظه‌یی بر تنش‌های ایجادشده در لوله‌ی مدفون دارد و با افزایش تراکم خاک تنش در لوله به مقدار قابل توجهی افزایش می‌یابند. تأثیر لحاظ لغزش در خاک‌های متراکم بیشتر از خاک‌های سست است.

خاک متراکم است. لذا مشاهده می‌شود صرف نظر کردن از تأثیر لغزش در خاک‌های متراکم می‌تواند منجر به تقریب بیشتری در محاسبات و طراحی لوله‌های مدفون شود.

۶. نتیجه‌گیری

نتایج به دست آمده از این تحقیق عبارتند از:

۱. استفاده از روش کشسانی سه بعدی منجر به کامل ترشدن این روش نسبت به روش‌های مشابه می‌شود و امکان مدل‌سازی و تحلیل لوله‌های با ضخامت زیاد مانند تونل‌های زیرزمینی را نیز فراهم کند. لیکن از آنجاکه این روش مبتنی بر فرض رفتار کشسان خاک و لوله‌ی مدفون است، لذا در این خصوص نمی‌توان در تحلیل‌های غیرخطی از این روش استفاده کرد.

منابع (References)

1. *EQE Summary Report*, Kobe Earthquake (17 January 1995).
2. Sinozuka, M., *The Hanshin-Awaji Earthquake of January 17, 1995, Performance of Lifelines*, NCEER-95-0015 (1995).
3. Chen, W.W.; Shih, B.J.; Chen, Y.C.; Hung, J.H. and Hwang, H.H. "Seismic response of natural gas and water pipelines in the Ji-Ji earthquake", *Soil Dyn Earthquake Engineering*, **22**(9-12), pp. 1209-1214 (2002).
4. Wang, W.L.; Wang, T.T.; Su, J.J.; Lin, C.H.; Seng, C.R. and Huang, T.H. "Assessment of damage in mountain tunnels due to the Taiwan Chi-Chi earthquake", *Soil Dyn. Earthquake Engineering*, **22**(9), pp. 73-96 (2002).
5. Uenishi, K.; Sakurai, S.; Uzarski S.M.J. and Arnold, C. "Chi-Chi Taiwan, earthquake of September 21, 1999", *Reconnaissance Report Earthquake Spectra*, **5**(19), pp. 153-173 (1999).
6. Hatzigeorgiou, G.D. and Beskos, D.E. "Soil-structure interaction effects on seismic inelastic analysis of 3-D tunnels", *Soil Dynamics and Earthquake Engineering*, **30**(9), pp. 851-861 (2010).
7. Stamos, A.A. and Beskos, D.E. "3-D seismic response analysis of long lined tunnels in half-space", *Soil Dynamics and Earthquake Engineering*, **15**(2), pp. 111-118 (1996).
8. Tadeu, A.; Mendes, P.A. and Antonio, J. "3D elastic wave propagation modeling in the presence of 2D fluid-filled thin inclusion", *Engineering Analysis with Boundary Elements*, **30**(3), pp. 176-193 (March 2006).
9. Datta, T.K. "Seismic response of buried pipelines: A state-of-the-art review", *Nuclear Engineering and Design*, **192**(2-3), pp. 271-284 (1999).
10. Akiyoshi, T. and Fuchida, K. "Soil-pipeline interaction through a frictional interface during earthquakes", *International Journal of Soil Dynamics and Earthquakes Engineering*, **3**(1), pp. 27-34 (1984).
11. Akiyoshi, T. "The effect of ground movement on pipelines", pp. 495-537 (1983).
12. Mishra, B.K. and Upadhyay, P.C. "Dynamic response of buried pipelines an elasticity solution", *Journal Pressure Vessel Tech ASME*, **112**(3), pp. 291-295 (1990).
13. Chonan, S. "Dynamic response of a cylindrical shell imperfectly bonded to a surrounding continuum of infinite extent", *Journal of Sound and Vibration*, **78**(2), pp. 257-267 (1981).
14. Fu-Iu, M. and Xiaoming, Y. "Vibration of fluid-filled pipeline buried in soil", *ASME Journal of Pressure Vessel Technology*, **112**(4), pp. 386-391 (1990).
15. Dwivedi, J.P.; Singh, V.P. and Upadhyay, P.C. "Non-axisymmetric dynamic response of imperfectly bounded buried fluid-filled orthotropic cylindrical shells", *ASME Journal of Pressure Vessel Technology*, **118**, pp. 64-73 (1996).
16. Sedarat, H.; Kozak, A.; Hashash, Y.M.A.; Shamsabadi, A. and Krimotat, A. "Contact interface in seismic analysis of circular tunnels", *Tunnelling and Underground Space Technology*, **24**(4), pp. 482-490 (2009).
17. Gazetas, G.; Gerolymos, N. and Anastasopoulos, I. "Response of the three Athens metro underground structures in the 1999 Parnitha earthquake", *Soil Dynamics and Earthquake Engineering*, **25**, pp. 617-633 (2005).
18. Hutchinson, J.R. and El-Azhari, S.A. "Vibration of free hollow circular cylinder", *Journal of Applied Mechanics ASME*, **53**(3), pp. 641-646 (1986).

پیوست الف)

$$\begin{aligned} \sigma_{\theta\theta}^p = & \left\{ A_{\text{v}}^p \left[-\mu q_l^p \frac{J_{n+1}(q_l^p r)}{r} + (\mu \frac{n(\lambda - n)}{r}) - \lambda((q_l^p)^{\text{r}} + \right. \right. \\ & (k_l^p \cos \phi_p)^{\text{r}})) J_n(q_l^p r) \Big] + B_{\text{v}}^p \left[-\mu q_l^p \frac{Y_{n+1}(q_l^p r)}{r} + \right. \\ & \left. \left. (\mu \frac{n(n-\lambda)}{r}) - \lambda((q_l^p)^{\text{r}} + (k_l^p \cos \phi_p)^{\text{r}})) Y_n(q_l^p r) \right] + \right. \\ & (n+1) k_l^p \cos \phi_p (A_{\text{v}}^p J_{n+1}(q_s^p r) + B_{\text{v}}^p Y_{n+1}(q_s^p r)) + \\ & A_{\text{v}}^p n \left(\frac{\lambda - n}{r} J_n(q_s^p r) + q_s^p J_{n+1}(q_s^p r) \right) + B_{\text{v}}^p n \left(\frac{\lambda - n}{r} Y_n(q_s^p r) + \right. \\ & \left. q_s^p Y_{n+1}(q_s^p r) \right) \Big\} \begin{Bmatrix} \cos n\theta \\ \sin n\theta \end{Bmatrix} e^{i(\omega t - z k_l^p \cos \phi_p)} \quad (\text{A}\text{v}) \end{aligned}$$

(ب)

$$\begin{aligned} \sigma_{rr} = & U_i \sin \phi_s e^{i(\omega t - z k_l^s \cos \phi_s)} \left\{ \sum_{n=1}^{\infty} \frac{\varepsilon_n}{\text{r}} (-i)^{n-1} \right. \\ & \left. \begin{Bmatrix} \lambda \mu_s [q_l^s (J_{n-1}(q_l^s r) - J_n(q_l^s r)) - \frac{1}{r} [n J_n(q_l^s r) - \\ (n+1) J_{n+1}(q_l^s r)]] + \\ \lambda_s [q_l^s (J_{n-1}(q_l^s r) - J_n(q_l^s r)) - \frac{1}{r} [-J_{n-1}(r q_l^s) + \\ n J_n(q_l^s r) - n J_{n+1}(q_l^s r)] - \frac{n}{r q_l^s} J_n(r q_l^s)] \end{Bmatrix} \cos(n\theta) + \right. \\ & \left. \frac{\varepsilon}{\text{r}} (-i)^1 [(\lambda_s + \lambda \mu_s) q_l^s J_n(q_l^s r) - \lambda \mu_s \frac{1}{r} J_1(q_l^s r)] \right\} - \\ & i \lambda_s U_i L_l^s \cos \phi_s e^{i(\omega t - z k_l^s \cos \phi_s)} \sum_{n=1}^{\infty} \varepsilon_n (-i)^n \cos n\theta J_n(r q_l^s) \\ \sigma_{r\theta} = & \mu_s U_i \sin \phi_s e^{i(\omega t - z k_l^s \cos \phi_s)} \left\{ \sum_{n=1}^{\infty} n \varepsilon_n (-i)^{n-1} \right. \\ & \left. \left\{ -\frac{1}{\text{r}} [J_{n-1}(r q_l^s) - J_{n+1}(r q_l^s)] + \frac{(\text{r} - n)}{r^2 q_l^s} J_n(r q_l^s) + \right. \right. \\ & \left. \left. J_{n+1}(r q_l^s) \right\} \sin(n\theta) \right. \end{aligned}$$

$$\begin{aligned} \sigma_{rz}^i = & \lambda \mu_s U_i \cos \phi_s e^{i(\omega t - z k_l^s \cos \phi_s)} \sum_{n=1}^{\infty} \varepsilon_n (-i)^n [\frac{n}{r} J_n(r q_l^s) - \\ & q_l^s J_{n+1}(r q_l^s)] \cos(n\theta) \quad (\text{B}\text{v}) \end{aligned}$$

(c)

we have $n > 0$ for

$$b_{\text{r}} = \frac{\varepsilon_n}{\text{r}} (-i)^{n-1} U_i \sin \phi_s$$

$$\begin{Bmatrix} \lambda \mu_s [q_l^s (J_{n-1}(q_l^s b) - J_n(q_l^s b)) - \frac{1}{b} [n J_n(q_l^s b) - \\ (n+1) J_{n+1}(q_l^s b)]] + \\ \lambda_s [q_l^s (J_{n-1}(q_l^s b) - J_n(q_l^s b)) - \frac{1}{b} [-J_{n-1}(q_l^s b) + \\ n J_n(q_l^s b) - n J_{n+1}(q_l^s b)] - \frac{n}{b^2 q_l^s} J_n(b q_l^s)] \end{Bmatrix}$$

$$-i \lambda_s U_i k_l^s \cos \phi_s \varepsilon_n (-i)^n J_n(q_l^s b)$$

$$b_{\text{d}} = \mu_s U_i \sin \phi_s \{ n \varepsilon_n (-i)^{n-1} \{ -\frac{1}{\text{rb}} [J_{n-1}(b q_l^s) - J_{n+1}(b q_l^s)] + \\ (\text{r} - n) J_n(b q_l^s) + J_{n+1}(b q_l^s) \} \}$$

$$\begin{aligned} \sigma_{rr}^p = & \left\{ \left[A_{\text{v}}^p \{ [\lambda \mu_p (\frac{n(n-1)}{r}) - (q_l^p)^{\text{r}}] - \lambda_p (k_l^p)^{\text{r}} \} J_n(q_l^p r) + \right. \right. \\ & \left. \left. \lambda \mu_p q_l^p \frac{1}{r} J_{n+1}(q_l^p r) \right] + B_{\text{v}}^p \{ [\lambda \mu_p (\frac{n(n-1)}{r}) - (q_l^p)^{\text{r}}] - \right. \\ & \left. \left. \lambda_p (k_l^p)^{\text{r}} \} Y_n(q_l^p r) + \lambda \mu_p q_l^p \frac{1}{r} Y_{n+1}(q_l^p r) \right] + \lambda \mu_p \right. \\ & \left[A_{\text{v}}^p (k_l^p \cos \phi_p) (q_s^p J_n(q_s^p r) - \frac{n+1}{r} J_{n+1}(q_s^p r)) + \right. \\ & A_{\text{v}}^p \frac{n}{r} \left(\frac{n-1}{r} J_n(q_s^p r) - q_s^p J_{n+1}(q_s^p r) \right) + B_{\text{v}}^p (k_l^p \cos \phi_p) \\ & (q_s^p Y_n(q_s^p r) - \frac{n+1}{r} Y_{n+1}(q_s^p r)) + B_{\text{v}}^p \frac{n}{r} \left(\frac{n-1}{r} Y_n(q_s^p r) - \right. \\ & \left. q_s^p Y_{n+1}(q_s^p r) \right) \Big\} \begin{Bmatrix} \cos n\theta \\ \sin n\theta \end{Bmatrix} e^{i(\omega t - z k_l^p \cos \phi_p)} \\ \sigma_{r\theta}^p = & \mu_p \left[\lambda n A_{\text{v}}^p \frac{1}{r} \left[\frac{\lambda - n}{r} J_n(q_l^p r) + q_l^p J_{n+1}(q_l^p r) \right] + \right. \\ & A_{\text{v}}^p (k_l^p \cos \phi_p) \left[q_s^p J_n(q_s^p r) - \frac{\lambda(n+1)}{r} J_{n+1}(q_s^p r) \right] + \\ & A_{\text{v}}^p \left[\left(\frac{\lambda(n-1)}{r} + (q_s^p)^{\text{r}} \right) J_n(q_s^p r) - \frac{\lambda}{r} q_s^p J_{n+1}(q_s^p r) \right] + \\ & \lambda n B_{\text{v}}^p \frac{1}{r} \left[\frac{\lambda - n}{r} Y_n(q_l^p r) + q_l^p Y_{n+1}(q_l^p r) \right] + B_{\text{v}}^p (k_l^p \cos \phi_p) \\ & (q_s^p Y_n(q_s^p r) - \frac{\lambda(n+1)}{r} Y_{n+1}(q_s^p r)) + B_{\text{v}}^p \left[\left(\frac{\lambda(n-1)}{r} + \right. \right. \\ & \left. \left. (q_s^p)^{\text{r}} \right) Y_n(q_s^p r) - \frac{\lambda}{r} q_s^p Y_{n+1}(q_s^p r) \right] \Big\} \begin{Bmatrix} 1 \\ -1 \end{Bmatrix} \begin{Bmatrix} \sin n\theta \\ \cos n\theta \end{Bmatrix} \\ & e^{i(\omega t - z k_l^p \cos \phi_p)} \end{aligned}$$

$$\begin{aligned} \sigma_{rz}^p = & -i \mu_p \left[\lambda A_{\text{v}}^p k_l^p \cos \phi_p \left(\frac{n}{r} J_n(q_l^p r) - q_l^p J_{n+1}(q_l^p r) \right) + \right. \\ & A_{\text{v}}^p [(k_l^p \cos \phi_p)^{\text{r}} - (q_s^p)^{\text{r}}] J_{n+1}(q_s^p r) + (A_{\text{v}}^p k_l^p \cos \phi_p + q_s^p A_{\text{v}}^p) \\ & \frac{n}{r} J_n(q_s^p r) \frac{n}{r} J_n(q_s^p r) \lambda B_{\text{v}}^p k_l^p \cos \phi_p \left(\frac{n}{r} J_n(q_l^p r) - q_l^p J_{n+1}(q_l^p r) \right) + \\ & B_{\text{v}}^p [(k_l^p \cos \phi_p)^{\text{r}} - (q_s^p)^{\text{r}}] J_{n+1}(q_s^p r) + (B_{\text{v}}^p k_l^p \cos \phi_p + q_s^p B_{\text{v}}^p) \end{aligned}$$

$$\begin{aligned} \sigma_{\theta z}^p = & \mu i \left\{ \frac{\lambda n}{r} k_l^p \cos \phi_p (A_{\text{v}}^p J_n(q_l^p r) + B_{\text{v}}^p Y_n(q_l^p r)) - k_l^p \cos \phi_p \right. \\ & \left[A_{\text{v}}^p (q_s^p J_{n+1}(q_s^p r) - \frac{n}{r} J_n(q_s^p r)) + B_{\text{v}}^p (q_s^p Y_{n+1}(q_s^p r) - \right. \\ & \left. \frac{n}{r} Y_n(q_s^p r)) \right] A_{\text{v}}^p \left[-(k_l^p \cos \phi_p)^{\text{r}} J_{n+1}(q_s^p r) + \frac{n}{r} q_s^p J_n(q_s^p r) \right] + \\ & B_{\text{v}}^p \left[-(k_l^p \cos \phi_p)^{\text{r}} Y_{n+1}(q_s^p r) + \frac{n}{r} q_s^p Y_n(q_s^p r) \right] \Big\} \begin{Bmatrix} 1 \\ -1 \end{Bmatrix} \\ & \begin{Bmatrix} \sin n\theta \\ \cos n\theta \end{Bmatrix} e^{i(\omega t - z k_l^p \cos \phi_p)} \end{aligned}$$

$$\begin{aligned}
M_{\mathfrak{r}\delta} &= \mathfrak{r} \mu_p k_l^p \cos \phi_p (q_s^p Y_n(q_s^p b) - \frac{n+\mathfrak{l}}{b} Y_{n+\mathfrak{l}}(q_s^p b)) \\
M_{\mathfrak{r}\mathfrak{s}} &= \mathfrak{r} \mu_p \frac{n}{b} (\frac{n-\mathfrak{l}}{b} Y_n(q_s^p b) - q_s^p Y_{n+\mathfrak{l}}(q_s^p b)) \\
M_{\mathfrak{r}\mathfrak{v}} &= -[\mathfrak{r} \mu_s (\frac{n(n-\mathfrak{l})}{b^{\mathfrak{r}}} - (q_l^s)^{\mathfrak{r}}) - \lambda_s(k_l^s)^{\mathfrak{r}}] H_n^{\mathfrak{r}}(q_l^s b) + \\
&\quad \mathfrak{r} \mu_s q_l^s \frac{\mathfrak{l}}{b} H_{n+\mathfrak{l}}^{\mathfrak{r}}(q_l^s b) \\
M_{\mathfrak{r}\lambda} &= -\mathfrak{r} \mu_s k_l^s \cos \phi_s (q_s^s H_n^{\mathfrak{r}}(q_s^s b) - \frac{n+\mathfrak{l}}{b} H_{n+\mathfrak{l}}^{\mathfrak{r}}(q_s^s b)) \\
M_{\mathfrak{r}\mathfrak{x}} &= -\mathfrak{r} \mu_s \frac{n}{b} (\frac{n-\mathfrak{l}}{b} H_n^{\mathfrak{r}}(q_s^s b) - q_s^p H_{n+\mathfrak{l}}^{\mathfrak{r}}(q_s^s b)) \\
M_{\mathfrak{d}\mathfrak{y}} &= M_{\mathfrak{v}\mathfrak{v}} = \mathfrak{r} \mu_p n \frac{\mathfrak{l}}{b} [\frac{\mathfrak{l}-n}{b} J_n(q_l^p b) + q_l^p J_{n+\mathfrak{l}}(q_l^p b)] \\
M_{\mathfrak{d}\mathfrak{r}} &= M_{\mathfrak{v}\mathfrak{r}} = \mu_p k_l^p \cos \phi_p [q_s^p J_n(q_s^p b) - \frac{\mathfrak{r}(n+\mathfrak{l})}{b} J_{n+\mathfrak{l}}(q_s^p b)] \\
M_{\mathfrak{d}\mathfrak{r}} &= M_{\mathfrak{v}\mathfrak{r}} = \mu_p [(\frac{\mathfrak{r}n(\mathfrak{l}-n)}{b^{\mathfrak{r}}} + (q_s^p)^{\mathfrak{r}}) J_n(q_s^p b) - \frac{\mathfrak{r}}{b} q_s^p J_{n+\mathfrak{l}}(q_s^p b)] \\
M_{\mathfrak{d}\mathfrak{r}} &= M_{\mathfrak{v}\mathfrak{r}} = \mathfrak{r} \mu_p n \frac{\mathfrak{l}}{b} [\frac{\mathfrak{l}-n}{b} Y_n(q_l^p b) + q_l^p Y_{n+\mathfrak{l}}(q_l^p b)] \\
M_{\mathfrak{d}\mathfrak{o}} &= M_{\mathfrak{v}\mathfrak{o}} = \mu_p k_l^p \cos \phi_p [q_s^p Y_n(q_s^p b) - \frac{\mathfrak{r}(n+\mathfrak{l})}{b} Y_{n+\mathfrak{l}}(q_s^p b)] \\
M_{\mathfrak{d}\mathfrak{o}} &= M_{\mathfrak{v}\mathfrak{o}} = \mu_p [(\frac{\mathfrak{r}n(\mathfrak{l}-n)}{b^{\mathfrak{r}}} + (q_s^p)^{\mathfrak{r}}) Y_n(q_s^p b) - \frac{\mathfrak{r}}{b} q_s^p Y_{n+\mathfrak{l}}(q_s^p b)] \\
M_{\mathfrak{d}\mathfrak{v}} &= -\mathfrak{r} \mu_s n \frac{\mathfrak{l}}{b} [\frac{\mathfrak{l}-n}{b} H_n^{\mathfrak{r}}(q_l^s b) + q_l^s H_{n+\mathfrak{l}}^{\mathfrak{r}}(q_l^s b)] \\
M_{\mathfrak{d}\mathfrak{a}} &= -\mu_s k_l^s \cos \phi_s (q_s^s H_n^{\mathfrak{r}}(q_s^s b) - \frac{\mathfrak{r}(n+\mathfrak{l})}{b} H_{n+\mathfrak{l}}^{\mathfrak{r}}(q_s^s b)) \\
M_{\mathfrak{d}\mathfrak{a}} &= -\mu_s [(\frac{\mathfrak{r}n(\mathfrak{l}-n)}{b^{\mathfrak{r}}} + (q_s^s)^{\mathfrak{r}}) H_n^{\mathfrak{r}}(q_s^s b) - \frac{\mathfrak{r}}{b} q_s^s H_{n+\mathfrak{l}}^{\mathfrak{r}}(q_s^s b)] \\
M_{\mathfrak{s}\mathfrak{v}} &= M_{\mathfrak{a}\mathfrak{v}} = \mathfrak{r} \mu_p k_l^p \cos \phi_p (\frac{n}{b} J_n(q_l^p b) - q_l^p J_{n+\mathfrak{l}}(q_l^p b)) \\
M_{\mathfrak{s}\mathfrak{r}} &= M_{\mathfrak{a}\mathfrak{r}} = \mu_p \{[(k_l^p \cos \phi_p)^{\mathfrak{r}} - (q_s^p)^{\mathfrak{r}}] J_{n+\mathfrak{l}}(q_s^p b) + q_s^p \frac{n}{b} J_n(q_s^p b)\} \\
M_{\mathfrak{s}\mathfrak{r}} &= M_{\mathfrak{a}\mathfrak{r}} = \mu_p k_l^p \cos \phi_p \frac{n}{b} J_n(q_s^p b) \\
M_{\mathfrak{s}\mathfrak{r}} &= M_{\mathfrak{a}\mathfrak{r}} = \mathfrak{r} \mu_p k_l^p \cos \phi_p (\frac{n}{b} Y_n(q_l^p b) - Y_{n+\mathfrak{l}}(q_l^p b)) \\
M_{\mathfrak{s}\mathfrak{o}} &= M_{\mathfrak{a}\mathfrak{o}} = \mu_p \{[(k_l^p \cos \phi_p)^{\mathfrak{r}} - (q_s^p)^{\mathfrak{r}}] Y_{n+\mathfrak{l}}(q_s^p b) + q_s^p \frac{n}{b} Y_n(q_s^p b)\} \\
M_{\mathfrak{s}\mathfrak{o}} &= M_{\mathfrak{a}\mathfrak{o}} = \mu_p k_l^p \cos \phi_p \frac{n}{b} Y_n(q_s^p b) \\
M_{\mathfrak{s}\mathfrak{v}} &= -\mathfrak{r} \mu_s k_l^s \cos \phi_s (\frac{n}{b} H_n^{\mathfrak{r}}(q_l^s b) - q_l^s H_{n+\mathfrak{l}}^{\mathfrak{r}}(q_l^s b)) \\
M_{\mathfrak{s}\mathfrak{a}} &= -\mu_s \{[(k_l^s \cos \phi_s)^{\mathfrak{r}} - (q_s^s)^{\mathfrak{r}}] H_{n+\mathfrak{l}}^{\mathfrak{r}}(q_s^s b) + q_s^s \frac{n}{b} H_n^{\mathfrak{r}}(q_s^s b)\} \\
M_{\mathfrak{s}\mathfrak{a}} &= -\mu_s k_l^s \cos \phi_s \frac{n}{b} H_n^{\mathfrak{r}}(q_s^s b) \\
M_{\mathfrak{s}\mathfrak{v}} &= \frac{n}{b} J_n(q_l^p b) - q_l^p J_{n+\mathfrak{l}}(q_l^p b) \\
M_{\mathfrak{s}\mathfrak{r}} &= k_l^p \cos \phi_p J_{n+\mathfrak{l}}(q_s^p b) \\
M_{\mathfrak{s}\mathfrak{r}} &= \frac{n}{b} J_n(q_s^p b) \\
M_{\mathfrak{s}\mathfrak{r}} &= \frac{n}{b} Y_n(q_l^p b) - q_l^p Y_{n+\mathfrak{l}}(q_l^p b) \\
M_{\mathfrak{s}\mathfrak{o}} &= k_l^p \cos \phi_p Y_{n+\mathfrak{l}}(q_s^p b) \\
M_{\mathfrak{s}\mathfrak{o}} &= \frac{n}{b} Y_n(q_s^p b) \\
M_{\mathfrak{s}\mathfrak{v}} &= -(\frac{n}{b} H_n^{\mathfrak{r}}(q_l^s b) - q_l^s H_{n+\mathfrak{l}}^{\mathfrak{r}}(q_l^s b))
\end{aligned}$$

$$\begin{aligned}
b_r &= \mathfrak{r} \mu_s U_i \cos \phi_s \varepsilon_n (-i)^{n-\mathfrak{l}} [\frac{n}{b} J_n(bq_l^s) - q_l^s J_{n+\mathfrak{l}}(bq_l^s)] \\
b_v &= \frac{\mathfrak{r} i \tau_s}{\pi U_\theta} U_\theta \Big|_n e^{i \phi_\theta)_n}, \quad n = \mathfrak{l}, \mathfrak{r}, \dots \quad \text{at } r = b \\
b_\lambda &= -\frac{\mathfrak{r} i \tau_s}{\pi U_z} U_z \Big|_n e^{i \phi_z)_n}, \quad n = \mathfrak{l}, \mathfrak{r}, \dots \quad \text{at } r = b \\
b_\alpha &= U_i \sin \phi_s \frac{\varepsilon_n}{\mathfrak{r}} (-i)^{n-\mathfrak{l}} [J_{n-\mathfrak{l}}(bq_l^s) - J_{n+\mathfrak{l}}(bq_l^s)] \\
M_{\mathfrak{v}\mathfrak{v}} &= [\mathfrak{r} \mu_p (\frac{n(n-\mathfrak{l})}{a^{\mathfrak{r}}} - (q_l^p)^{\mathfrak{r}}) - \lambda_p(k_l^p)^{\mathfrak{r}}] J_n(q_l^p a) + \\
&\quad \mathfrak{r} \mu_p q_l^p \frac{\mathfrak{l}}{a} J_{n+\mathfrak{l}}(q_l^p a) \\
M_{\mathfrak{v}\mathfrak{v}} &= \mathfrak{r} \mu_p k_l^p \cos \phi_p (q_s^p J_n(q_s^p a) - \frac{n+\mathfrak{l}}{a} J_{n+\mathfrak{l}}(q_s^p a)) \\
M_{\mathfrak{v}\mathfrak{r}} &= \mathfrak{r} \mu_p \frac{n}{a} (\frac{n-\mathfrak{l}}{a} J_n(q_s^p a) - q_s^p J_{n+\mathfrak{l}}(q_s^p a)) \\
M_{\mathfrak{v}\mathfrak{r}} &= [\mathfrak{r} \mu_p (\frac{n(n-\mathfrak{l})}{a^{\mathfrak{r}}} - (q_l^p)^{\mathfrak{r}}) - \lambda_p(k_l^p)^{\mathfrak{r}}] Y_n(q_l^p a) + \\
&\quad \mathfrak{r} \mu_p q_l^p \frac{\mathfrak{l}}{a} Y_{n+\mathfrak{l}}(q_l^p a) \\
M_{\mathfrak{v}\mathfrak{o}} &= \mathfrak{r} \mu_p k_l^p \cos \phi_p (q_s^p Y_n(q_s^p a) - \frac{n+\mathfrak{l}}{a} Y_{n+\mathfrak{l}}(q_s^p a)) \\
M_{\mathfrak{v}\mathfrak{o}} &= \mathfrak{r} \mu_p \frac{n}{a} (\frac{n-\mathfrak{l}}{a} Y_n(q_s^p a) - q_s^p Y_{n+\mathfrak{l}}(q_s^p a)) \\
M_{\mathfrak{v}\mathfrak{o}} &= \mathfrak{r} \mu_p n \frac{\mathfrak{l}}{a} [\frac{\mathfrak{l}-n}{a} J_n(q_l^p a) + q_l^p J_{n+\mathfrak{l}}(q_l^p a)] \\
M_{\mathfrak{v}\mathfrak{r}} &= \mu_p k_l^p \cos \phi_p [q_s^p J_n(q_s^p a) - \frac{\mathfrak{r}(n+\mathfrak{l})}{a} J_{n+\mathfrak{l}}(q_s^p a)] \\
M_{\mathfrak{v}\mathfrak{r}} &= \mu_p [(\frac{\mathfrak{r}n(\mathfrak{l}-n)}{a^{\mathfrak{r}}} + (q_s^p)^{\mathfrak{r}}) J_n(q_s^p a) - \frac{\mathfrak{r}}{a} q_s^p J_{n+\mathfrak{l}}(q_s^p a)] \\
M_{\mathfrak{v}\mathfrak{r}} &= \mathfrak{r} \mu_p n \frac{\mathfrak{l}}{a} [\frac{\mathfrak{l}-n}{a} Y_n(q_l^p a) + q_l^p Y_{n+\mathfrak{l}}(q_l^p a)] \\
M_{\mathfrak{v}\mathfrak{o}} &= \mu_p k_l^p \cos \phi_p [q_s^p Y_n(q_s^p a) - \frac{\mathfrak{r}(n+\mathfrak{l})}{a} Y_{n+\mathfrak{l}}(q_s^p a)] \\
M_{\mathfrak{v}\mathfrak{o}} &= \mu_p [(\frac{\mathfrak{r}n(\mathfrak{l}-n)}{a^{\mathfrak{r}}} + (q_s^p)^{\mathfrak{r}}) Y_n(q_s^p a) - \frac{\mathfrak{r}}{a} q_s^p Y_{n+\mathfrak{l}}(q_s^p a)] \\
M_{\mathfrak{v}\mathfrak{o}} &= \mathfrak{r} \mu_p k_l^p \cos \phi_p (\frac{n}{a} J_n(q_l^p a) - q_l^p J_{n+\mathfrak{l}}(q_l^p a)) \\
M_{\mathfrak{v}\mathfrak{o}} &= \mu_p \{[(k_l^p \cos \phi_p)^{\mathfrak{r}} - (q_s^p)^{\mathfrak{r}}] J_{n+\mathfrak{l}}(q_s^p a) + q_s^p \frac{n}{a} J_n(q_s^p a)\} \\
M_{\mathfrak{v}\mathfrak{r}} &= \mu_p k_l^p \cos \phi_p \frac{n}{a} J_n(q_s^p a) \\
M_{\mathfrak{v}\mathfrak{r}} &= \mathfrak{r} \mu_p k_l^p \cos \phi_p (\frac{n}{a} Y_n(q_l^p a) - q_l^p Y_{n+\mathfrak{l}}(q_l^p a)) \\
M_{\mathfrak{v}\mathfrak{o}} &= \mu_p \{[(k_l^p \cos \phi_p)^{\mathfrak{r}} - (q_s^p)^{\mathfrak{r}}] Y_{n+\mathfrak{l}}(q_s^p a) + q_s^p \frac{n}{a} Y_n(q_s^p a)\} \\
M_{\mathfrak{v}\mathfrak{o}} &= \mu_p k_l^p \cos \phi_p \frac{n}{a} Y_n(q_s^p a) \\
M_{\mathfrak{v}\mathfrak{v}} &= [\mathfrak{r} \mu_p (\frac{n(n-\mathfrak{l})}{b^{\mathfrak{r}}} - (q_l^p)^{\mathfrak{r}}) - \lambda_p(k_l^p)^{\mathfrak{r}}] J_n(q_l^p b) + \\
&\quad \mathfrak{r} \mu_p q_l^p \frac{\mathfrak{l}}{a} J_{n+\mathfrak{l}}(q_l^p b) \\
M_{\mathfrak{v}\mathfrak{v}} &= \mathfrak{r} \mu_p k_l^p \cos \phi_p (q_s^p J_n(q_s^p b) - \frac{n+\mathfrak{l}}{b} J_{n+\mathfrak{l}}(q_s^p b)) \\
M_{\mathfrak{v}\mathfrak{r}} &= \mathfrak{r} \mu_p \frac{n}{b} (\frac{n-\mathfrak{l}}{b} J_n(q_s^p b) - q_s^p J_{n+\mathfrak{l}}(q_s^p b)) \\
M_{\mathfrak{v}\mathfrak{r}} &= [\mathfrak{r} \mu_p (\frac{n(n-\mathfrak{l})}{b^{\mathfrak{r}}} - (q_l^p)^{\mathfrak{r}}) - \lambda_p(k_l^p)^{\mathfrak{r}}] Y_n(q_l^p b) + \\
&\quad \mathfrak{r} \mu_p q_l^p \frac{\mathfrak{l}}{b} Y_{n+\mathfrak{l}}(q_l^p b)
\end{aligned}$$

$$\begin{aligned}
 M_{\delta\alpha} &= q_l^s H_{\lambda}(q_l^s b) \\
 M_{\delta\beta} &= -k_l^s \cos \phi_s H_{\lambda}(q_s^s b) \\
 M_{\gamma\alpha} &= -[\gamma \mu_p (q_l^p)^{\dagger} + \lambda_p (k_l^p)^{\dagger}] J_{\circ}(q_l^p b) + \gamma \mu_p q_l^p \frac{\lambda}{b} J_{\lambda}(q_l^p b) \\
 M_{\gamma\beta} &= \gamma \mu_p k_l^p \cos \phi_p (q_s^p J_{\circ}(q_s^p b) - \frac{\lambda}{b} J_{\lambda}(q_s^p b)) \\
 M_{\gamma\gamma} &= -[\gamma \mu_p (q_l^p)^{\dagger} + \lambda_p (k_l^p)^{\dagger}] Y_{\circ}(q_l^p b) + \gamma \mu_p q_l^p \frac{\lambda}{b} Y_{\lambda}(q_l^p b) \\
 M_{\gamma\tau} &= \gamma \mu_p k_l^p \cos \phi_p (q_s^p Y_{\circ}(q_s^p b) - \frac{\lambda}{b} Y_{\lambda}(q_s^p b)) \\
 M_{\tau\alpha} &= [\gamma \mu_s (q_l^s)^{\dagger} + \lambda_s (k_l^s)^{\dagger}] H_{\circ}(q_l^s b) - \gamma \mu_s q_l^s \frac{\lambda}{b} H_{\lambda}(q_l^s b) \\
 M_{\tau\beta} &= -\gamma \mu_s k_l^s \cos \phi_s (q_s^s H_{\circ}(q_s^s b) + \frac{\lambda}{b} H_{\lambda}(q_s^s b)) \\
 M_{\tau\gamma} &= -\gamma \mu_p k_l^p q_l^p \cos \phi_p J_{\lambda}(q_l^p b) \\
 M_{\tau\tau} &= \mu_p [(k_l^p \cos \phi_p)^{\dagger} - (q_s^p)^{\dagger}] J_{\lambda}(q_s^p b) \\
 M_{\tau\tau} &= -\gamma \mu_p k_l^p q_l^p \cos \phi_p Y_{\lambda}(q_l^p b) \\
 M_{\tau\tau} &= \mu_p [(k_l^p \cos \phi_p)^{\dagger} - (q_s^p)^{\dagger}] Y_{\lambda}(q_s^p b) \\
 M_{\delta\alpha} &= \gamma \mu_p k_l^p q_l^p \cos \phi_p H_{\lambda}(q_l^p b) \\
 M_{\delta\beta} &= -\mu_p [(k_l^p \cos \phi_p)^{\dagger} - (q_s^p)^{\dagger}] H_{\lambda}(q_s^p b) \\
 b_{\delta} &= -\frac{\gamma \tau_s}{\pi U_z} U_z \left(e^{i\phi_z} \right), \quad \text{at } r = b \\
 b_{\beta} &= -i U_i \sin \phi_s \frac{\varepsilon}{\gamma} J_{\lambda}(b q_l^s) \\
 b_{\gamma} &= -i \lambda_s U_i k_l^s \cos \phi_s \varepsilon J_{\circ}(r q_l^s) \\
 b_{\tau} &= -\gamma i \mu_s U_i \cos \phi_s \varepsilon J_{\circ}(q_l^s b) \\
 M_{\delta\alpha} &= -k_l^s \cos \phi_s H_{n+\lambda}(q_s^s b) \\
 M_{\delta\beta} &= -\frac{n}{b} H_n(q_s^s b)
 \end{aligned}$$

we have $n = \circ$. And for

$$\begin{aligned}
 M_{\lambda\lambda} &= -[\gamma \mu_p (q_l^p)^{\dagger} + \lambda_p (k_l^p)^{\dagger}] J_{\circ}(q_l^p a) + \gamma \mu_p q_l^p \frac{\lambda}{a} J_{\lambda}(q_l^p a) \\
 M_{\lambda\tau} &= \gamma \mu_p k_l^p \cos \phi_p (q_s^p J_{\circ}(q_s^p a) - \frac{\lambda}{a} J_{\lambda}(q_s^p a)) \\
 M_{\lambda\gamma} &= -[\gamma \mu_p (q_l^p)^{\dagger} + \lambda_p (k_l^p)^{\dagger}] Y_{\circ}(q_l^p a) + \gamma \mu_p q_l^p \frac{\lambda}{a} Y_{\lambda}(q_l^p a) \\
 M_{\lambda\tau} &= \gamma \mu_p k_l^p \cos \phi_p (q_s^p Y_{\circ}(q_s^p a) - \frac{\lambda}{a} Y_{\lambda}(q_s^p a)) \\
 M_{\tau\lambda} &= -\gamma \mu_p k_l^p q_l^p \cos \phi_p J_{\lambda}(q_l^p a) \\
 M_{\tau\tau} &= \mu_p [(k_l^p \cos \phi_p)^{\dagger} - (q_s^p)^{\dagger}] J_{\lambda}(q_s^p a) \\
 M_{\tau\lambda} &= -\gamma \mu_p k_l^p q_l^p \cos \phi_p Y_{\lambda}(q_l^p a) \\
 M_{\tau\tau} &= \mu_p [(k_l^p \cos \phi_p)^{\dagger} - (q_s^p)^{\dagger}] Y_{\lambda}(q_s^p a) \\
 M_{\delta\lambda} &= -\gamma \mu_p k_l^p q_l^p \cos \phi_p J_{\lambda}(q_l^p b) \\
 M_{\delta\tau} &= \mu_p [(k_l^p \cos \phi_p)^{\dagger} - (q_s^p)^{\dagger}] J_{\lambda}(q_s^p b) \\
 M_{\delta\lambda} &= -\gamma \mu_p k_l^p q_l^p \cos \phi_p Y_{\lambda}(q_l^p b) \\
 M_{\delta\tau} &= \mu_p [(k_l^p \cos \phi_p)^{\dagger} - (q_s^p)^{\dagger}] Y_{\lambda}(q_s^p b) \\
 M_{\delta\lambda} &= -q_l^p J_{\lambda}(q_l^p b) \\
 M_{\delta\tau} &= k_l^p \cos \phi_p J_{\lambda}(q_s^p b) \\
 M_{\delta\tau} &= -q_l^p Y_{\lambda}(q_l^p b) \\
 M_{\delta\tau} &= k_l^p \cos \phi_p Y_{\lambda}(q_s^p b)
 \end{aligned}$$

اثر زلزله بر گسترش ترک منفرد در سد سفیدرود با استفاده از روش المان مزی دوگانه‌ی چند دامنه

مهمنگی عرض شرف
دوری ۳-۸، شماره ۳، ص. ۴۳-۵۴

بابک امیدوار^{*} (استادیار)

دانشکده‌ی محیط زیست، دانشگاه تهران

اسدا... نورزاد (استاد)

محمد رحیمیان (استاد)

علیرضا صنایع‌ها (دانشجوی دکتری)

دانشکده‌ی فنی، دانشگاه تهران

در این نوشتار با استفاده از رویکرد مکانیک شکست دینامیکی، اثر زلزله بر گسترش ترک در سد سفیدرود بررسی شده است، و در آن با معروفی معادلات انتگرال مزی تعیین‌کمان و بردار تنش، از ترکیب روش المان مزی چنددامنه و روش المان مزی دوگانه در فضای زمانی برای مدل‌کردن هندسه‌ی پیچیده‌ی سد پشت بندار سفیدرود استفاده شده و گسترش ترک در پایه‌ی شماره ۱۵ سد مذکور در اثر زلزله مورد تحلیل قرار گرفته است. کاربرد هم‌زمان روش المان مزی چنددامنه و روش المان مزی دوگانه باعث می‌شود که مدل سازی قسمت‌های مختلف بدنی سد و دیابی مسیر گسترش دینامیکی ترک با درنظرگرفتن مقاومت مکانیک شکست را بتوان به راحتی انجام داد. همچنین با گسترش ترک، فقط المان‌های جدید به المان‌های قبلی اضافه می‌شود که این امر باعث کاهش زمان و هزینه محاسباتی می‌شود. سناریوهای مختلفی برای محل ترک اولیه از نظر طول و تراز آن در جدار پایین دست پنهان در نظرگرفته شده است. نتایج حاصل از این تحقیق دو بعدی در همان محدوده‌ی ترک‌های مشاهده شده در بدنی سد در اثر زلزله قرار دارد. برای حصول تطابق کامل مسیر گسترش ترک‌های پیش‌بینی شده با ترک‌های واقعی سد استفاده از مدل‌های سه‌بعدی پیشنهاد می‌شود.

bomidvar@ut.ac.ir
noorzad@ut.ac.ir
rahimian@ut.ac.ir
sanaeih@ut.ac.ir

واژگان کلیدی: سد سفیدرود، گسترش دینامیکی ترک منفرد، روش المان مزی دوگانه، روش المان مزی چنددامنه، فضای زمانی، مکانیک شکست دینامیکی.

۱. مقدمه

مقاومت کششی، نمی‌توان نتایج حاصل از بروز ترک و مؤثر بودن روش‌های تعمیر را بررسی کرد؛ ولی با استفاده از مکانیک شکست خطی می‌توان با دقت بالایی به بررسی و مطالعه‌ی بروز ترک‌های اولیه، اینمی سدهای ترک‌خوردگی، پایداری و امکان گسترش مجدد ترک تحت بارگذاری زلزله و مؤثر بودن روش‌های اصلاح سد ترک‌خوردگی پرداخت. برای بررسی تاریخچه‌ی رشد ترک و شکل آن در بالادست و پایین دست یک سد قوسی بتنی با انحنای مضاعف (سد کلنبرین^۱ در اتریش)، تحلیل استاتیکی شکست در حالت مود مرکب مکانیک شکست خطی انجام و تاریخچه‌ی گسترش ترک و تئوری‌های توجیه‌کننده‌ی آن با استفاده از مکانیک شکست و تحلیل براساس روش المان محدود بررسی و تفسیر شده است.^[۲،۳] همچنین با استفاده از مکانیک شکست، روشی برای بررسی شکست سدهای وزنی بتنی با استفاده از روش المان مزی چنددامنه ارائه شده است که در آن سمتله‌ی بسته شدن ترک توسط بار ضربه‌ی در نقاط تماس مدل شده است، و این اولین پژوهشی است که در آن روش عددی برای بررسی مراحل گسترش ترک در اثر زلزله در

روش رایج ارزیابی اینمی سدها می‌نمایی براین عقیده است که اگر سدی در مقابل زلزله براساس مقاومت کششی صفر طراحی شود، این خواهد بود و لزومی برای به کارگیری روش‌های پیچیده نظیر مکانیک شکست دینامیکی^۱ نیست. این روش بدون کشش طرح، معادل تحلیل کشسانی - خمیری با معيار جاری شدنی است که حد جاری شدن کششی بتن صفر در نظرگرفته شود (معیار رانکین^۲ یا معيار موهرکولمب). همچنان که در پژوهشی نشان داده شده است، هیچ‌گونه تضمینی برای این‌بودن این‌گونه طرح‌ها وجود ندارد.^[۱]

سازه‌های بزرگ بتنی غیرسليح نظیر سدهای بتنی به دلایل مختلفی مانند تنش‌های قابل ملاحظه‌ی حرارتی و جمع‌شدگی، درزهای ساختمانی ضعیف، حرکات متفاوت در پی و پایه‌های کناری و ارتعاشات ناشی از زلزله، مستعد ترک‌خوردگی هستند. همان‌طور که ذکر شد، در بیشتر روش‌های مبتنی بر ناچیز فرض کردن

* نویسنده مسئول
تاریخ: دریافت ۲۲، ۱۳۸۹، ۶؛ اصلاحیه ۱۱، ۱۳۹۰، ۳؛ پذیرش ۲۱، ۱۳۹۰.